

# بررسی ارتعاشات غیرخطی سیستم کابل حامل جرم و فنر و دمپر تحت اثر حرکت شتاب‌دار جرم متصل به آن

امیررضا شاهانی (استاد)

مجید قدیری (دانشجوی دکتری)

دانشکده مهندسی مکانیک، دانشگاه صنعتی خواجه نصیرالدین طوسی

در این نوشتار ارتعاشات غیر خطی کابل حامل جرم متحرک که به کمک فنر و دمپر به کابل متصل شده، مورد بررسی قرار گرفته است. یک انتهای کابل ثابت، و انتهای دیگر آن، با اختلاف ارتفاع، غیر ثابت است. کرنش مماسی کابل صفر فرض شده، اما طول کابل دائماً در حال تغییر است و این تغییر طول کابل، به آن اجزای ارتعاش می‌دهد. این تغییرات به گونه‌یی است که اختلاف کشش در انتهای غیر ثابت کابل صفر شود. ارتعاشات کابل به صورت درون‌صفحه‌یی در نظر گرفته شده و فرض بر این است که جرم متحرک فقط در راستای  $y$  نوسان می‌کند. در استخراج فرمول‌بندی حرکت، نیروی اصطکاک بین غلتک و کابل و نیز یک نیروی جاویرنده که راستای آن مماس بر راستای کابل است مورد ملاحظه قرار گرفته، و معادلات حرکت با فرض متأثر بودن حرکت کابل از حرکت جرم به دست آمده است. برای حل، از روش گالرکین در حوزه مکان و از روش شتاب متوسط در حوزه زمان استفاده شده است. نتایج به دست آمده از حل معادلات ارتعاش غیرخطی کابل با نتایج حاصل از معادلات ارتعاش خطی آن مقایسه شده است. نتایج این مطالعه در تحلیل و طراحی کابل تله‌کابین‌ها، جرثقیل‌های کابلی و غیره قابل استفاده است.

واژگان کلیدی: ارتعاشات غیرخطی کابل، جرم متحرک، روش گالرکین، روش شتاب متوسط.

shahani@kntu.ac.ir  
mghadiri@dena.kntu.ac.ir

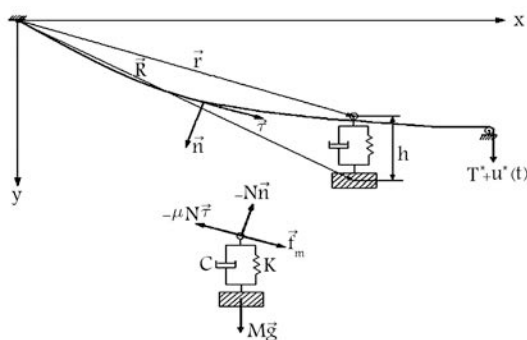
## مقدمه

در حال حرکت است مورد ملاحظه قرار گرفت.<sup>[۴]</sup> در مطالعات بعدی، نتایج حاصل از تحلیل پاسخ دینامیکی یک کابل ایده‌آل با طول بی‌نهایت در نتیجه حرکت جرم متصل به آن نشان داد که دینامیک سیستم می‌تواند شدیداً تحت تأثیر اینرسی جرم در حال حرکت واقع شود.<sup>[۵]</sup> در سال ۱۹۸۴ مکانیک یک کابل شیب‌دار سفت کشیده‌شده، تحت تأثیر نیروهای خارجی بررسی، و خاطرنشان شد که کشسان بودن به‌ویژه در کابل‌های سفت کشیده‌شده تأثیر به‌سزایی دارد.<sup>[۶]</sup> همچنین نتایج نشان می‌دهد که کابل غیرقابل کشسان با خمیدگی صفر غیرممکن است. در سال ۱۹۸۹ پاسخ دینامیکی یک کابل قابل کشسان آویزان از دو نقطه با ارتفاع مساوی، در نتیجه حرکت جرم متصل‌شده به آن مورد تجزیه و تحلیل قرار گرفت.<sup>[۷]</sup> در این تحلیل، از روش انتگرال‌گیری مستقیم نیومارک و برخورد تکراری نیوتن - رافسون برای پیش‌بینی تأثیر پارامترهای متعدد بر پاسخ سیستم استفاده شد.

در سال ۲۰۰۰ محققین ضمن تحلیل ارتعاشات گذرای یک کابل غیرکشسان با جرم شتابان سوار بر آن، مدل جدیدی را بسط و گسترش دادند که تأثیر اصطکاک غلطشی میان جرم در حال حرکت و کابل را شامل می‌شد.<sup>[۸]</sup> پس از آن در سال ۲۰۰۲، ارتعاشات گذرای کابل کشیده‌شده‌یی که جرم متحرکی روی آن با سرعت ثابت

آن دسته از سازه‌های مهندسی که به‌نحوی با نقل و انتقال ارتباط دارند در حقیقت تحت اعمال بارهایی قرار می‌گیرند که با زمان و موقعیت تغییر می‌کنند. در مکانیک مهندسی چنین بارهایی را «بار متحرک» می‌نامند.<sup>[۱]</sup> ارتعاشات کابل‌ها با جرم متحرک و بدون جرم متحرک، موضوع بسیاری از مطالعات بوده و هست. در سال ۱۹۶۴ رفتار دینامیکی یک کابل کشیده‌شده که حامل یک جرم متحرک بود با استفاده از روش‌های تحلیلی مورد بررسی قرار گرفت.<sup>[۲]</sup> در این بررسی جرم با سرعت ثابت در امتداد طناب در حال حرکت بود و از اثرات متقابل طناب و جرم در نتیجه‌یی بار متحرک صرف‌نظر شد. پس از آن در سال ۱۹۷۴، تأثیر شتاب جابه‌جایی را که به‌موجب آن اثر متقابل میان جرم در حال حرکت و سازه به‌صورت مهارشده در مسئله لحاظ می‌شد، مورد ملاحظه قرار دادند.<sup>[۳]</sup> آنها خاطرنشان کردند که چنانچه فرمول‌بندی صحیح مورد نظر است، عبارات شتاب جابه‌جایی که قبلاً پذیرفته نشده بود باید مورد توجه واقع شود. در سال ۱۹۷۵ نیز کالسه‌که‌یی با راکت فشرده که با شتاب ثابت در امتداد یک کابل فولادی آویزان بین دو قله و تحت اثر نیروی پیش‌رانش

تاریخ: دریافت ۱۳۸۶/۵/۳۱، داوری ۱۳۸۶/۱۱/۳، پذیرش ۱۳۸۷/۲/۱.



شکل ۱. نمایش کابل و جرم متحرک و پیکره آزاد نیرویی جرم متحرک.

مشتق نسبت به  $(s)$  و علامت دات  $(\dot{\phantom{x}})$  بیانگر مشتق نسبت به زمان است. معادله ی قیدی به صورت رابطه ی ۵ در نظر گرفته می شود:

$$\dot{\vec{r}}' \cdot \dot{\vec{r}}' = 1 \quad (5)$$

معادله ی حرکت جرم متحرک نیز با توجه به شکل ۱ به صورت رابطه ی ۶ بیان می شود:

$$M \vec{a}_m = M \vec{g} + \vec{f}_m - \mu N \vec{\tau} - N \vec{n} \quad (6)$$

که در آن  $M$  جرم متحرک،  $\vec{g} = g \hat{j}$  شتاب گرانش،  $\vec{f}_m = M f \vec{\tau}$  نیروی پیش رانش،  $f$  تابع معلوم بر حسب زمان،  $N$  عکس العمل کابل بر جرم،  $\mu$  ضریب اصطکاک،  $\vec{\tau} = \frac{\partial x}{\partial s} \hat{i} + \frac{\partial y}{\partial s} \hat{j} = \cos \theta \hat{i} + \sin \theta \hat{j}$  بردار یکه ی مماسی،  $\vec{n} = -\frac{\partial y}{\partial s} \hat{i} + \frac{\partial x}{\partial s} \hat{j} = -\sin \theta \hat{i} + \cos \theta \hat{j}$  بردار یکه ی نرمال، و  $\theta$  زاویه ی بین بردار مماس بر کابل  $(\vec{\tau})$  و راستای محور  $X$  است. شتاب جرم متحرک  $(\vec{a}_m)$  مطابق رابطه ی ۷ حاصل می شود:

$$\vec{a}_m = \frac{d^2}{dt^2} [\vec{R}(\bar{s}(t), t)] = \frac{d^2}{dt^2} [\vec{r}(\bar{s}(t), t) + \vec{h}(t)] = \vec{r}''(\bar{s})^2 + 2 \dot{\vec{r}}' \dot{\bar{s}} + \ddot{\bar{s}} \vec{r}' + \ddot{\vec{h}}(t) \quad (7)$$

که در آن  $\bar{s}(t)$  فاصله ی جرم متحرک در امتداد انحنای کابل است. در رابطه ی ۴ نیروی  $\vec{f}$  چنین بیان می شود:

$$\vec{f} = m \vec{g} + (N \vec{n} + \mu N \vec{\tau}) \delta(s - \bar{s}) \quad (8)$$

که در آن  $\delta(s - \bar{s})$  تابع دلتای دیراک است. بنابراین معادلات حاکم بر حرکت سیستم، مرکب از حرکت جرم و حرکت کابل، چنین بیان می شوند:

$$(T \vec{r}')' + m \vec{g} + (M \vec{g} + \vec{f}_m) \delta(s - \bar{s}) = m \ddot{\vec{r}} + M \delta(s - \bar{s}) [\vec{r}''(\bar{s})^2 + 2 \dot{\vec{r}}' \dot{\bar{s}} + \ddot{\bar{s}} \vec{r}' + \ddot{\vec{h}}(t)] \quad (9)$$

این معادله از جایگذاری مقدار  $\vec{f}$  از رابطه ی ۸ و  $(N \vec{n} + \mu N \vec{\tau})$  از رابطه ی ۶ در رابطه ی ۴، که بیانگر معادله ی حرکت کابل است، حاصل شده است. با قراردادن  $\vec{a}_m$  از رابطه ی ۷ در معادله ی ۹، معادله ی حرکت جرم به دست می آید که عبارت است از:

$$M [\vec{r}''(\bar{s})^2 + 2 \dot{\vec{r}}' \dot{\bar{s}} + \ddot{\bar{s}} \vec{r}' + \ddot{\vec{h}}(t)] = \vec{f}_m + M \vec{g} - [N \vec{n} + \mu N \vec{\tau}], \quad s = \bar{s}(t) \quad (10)$$

در حال حرکت است مورد بررسی قرار گرفت. [۹] برای تحلیل مسئله ی ارتعاشات جرم - کابل متغیر با زمان، از روش اجزاء محدود غیرخطی در نرم افزار *Ansys* استفاده شده است. در این تحقیق اثر برخی پارامترهای مهم، مانند وزن و سرعت جرم متحرک، و همچنین نیروی کششی اولیه ی کابل بررسی شده است. نتایج عددی به دست آمده بیانگر آن است که تغییرات خیز وسط کابل و بیشینه نیروی کششی به سرعت جرم متحرک بستگی دارد.

در سال ۲۰۰۲ نیز محققین داخلی ارتعاشات خطی کابل های حامل اجرام دارای سیستم تعلیق را به روش تحلیلی و نیمه تحلیلی گالرکین مورد بررسی قرار دادند. [۱۰] آنان نشان دادند که اگر در بررسی سیستم از قسمت اینرسی جرم متحرک (در قبال کم بودن وزن جرم در برابر وزن کابل) صرف نظر و صرفاً جرم با نیروی معادل  $mg$  تحلیل شود خطای بزرگی حاصل می شود. آنان همچنین بیان داشتند که حالت پهنه یی برای ثابت فنر و استهلاک وجود دارد که در آن انرژی جنبشی کمینه می شود. در این نوشتار ارتعاشات غیرخطی کابل حامل جرم متحرک که با فنر و دمپر به کابل متصل شده مورد بررسی قرار گرفته است. بدین منظور روابط ارائه شده در منابع موجود توسعه داده شده [۸] و معادلات با افزودن اثر جرم متحرک که با استفاده از سیستم تعلیق به کابل متصل شده استخراج شده اند. ضمناً برخی از عبارات غیر خطی که در این منابع از آنها صرف نظر شده در این پژوهش وارد معادلات شده اند. ارتعاشات کابل و جرم متصل به آن درون صفحه یی در نظر گرفته شده و کرنش مماسی کابل صفر فرض شده است. یک انتهای کابل ثابت و انتهای دیگر آن، با اختلاف ارتفاع مشخص، غیر ثابت است و اجازه ی تغییر طول را به کابل می دهد. تغییر طول کابل به گونه یی است که اختلاف کشش در انتهای غیر ثابت کابل صفر شود. در استخراج معادلات حاکم، نیروی اصطکاک بین غلتک و کابل، و نیز نیروی جلو برنده ی مماس بر راستای کابل به همراه اثر متقابل حرکت کابل و جرم بر هم مورد توجه قرار گرفته اند.

## استخراج معادلات حرکت [۱۱ و ۱۲]

مطابق شکل ۱، کابلی را در نظر می گیریم که از دو نقطه به طول  $L$  و با اختلاف ارتفاع بین دو تکیه گاه  $h_e$  آویزان است. یک انتهای کابل ثابت، و انتهای دیگر آن با اختلاف ارتفاع غیر ثابت است. بردار موقعیت کارتیزین نقطه ی  $s$  در امتداد کابل در زمان  $t$  به وسیله ی  $\vec{r}(s, t)$  نمایش داده می شود.

$$\vec{r}(s, t) = x(s, t) \hat{i} + y(s, t) \hat{j} \quad (1)$$

بردار موقعیت کارتیزین جرم آویزان به کابل در زمان  $t$  به وسیله ی  $\vec{R}(\bar{s}, t)$  نمایش داده می شود.

$$\vec{R}(\bar{s}, t) = x(\bar{s}, t) \hat{i} + (y(\bar{s}, t) + h(t)) \hat{j} \quad (2)$$

$$\vec{R}(\bar{s}, t) = \vec{r}(\bar{s}, t) + \vec{h}(t) \quad (3)$$

معادلات حرکت کابل نیز چنین به دست می آید:

$$(T \vec{r}')' + \vec{f} = m \ddot{\vec{r}} \quad 0 < s < l, \quad t > 0 \quad (4)$$

که در آن  $T$  مقدار کشش و  $m$  مقدار جرم به ازای واحد طول کابل هستند. نیروهای خارجی وارده بر کابل جمعاً با  $\vec{f}$  نشان داده شده که وزن کابل، جرم متحرک، و عکس العمل جرم آویزان بر روی کابل را شامل می شود؛ علامت پریم  $(\prime)$  نیز بیانگر

معادله‌ی ۲۴ در شکل اسکالر چنین بیان می‌شود:

$$T_s \frac{dx_s}{ds} \Big|_{\bar{s}-\varepsilon}^{\bar{s}+\varepsilon} = 0 \Rightarrow T_s \frac{dx_s}{ds} \Big|_{\bar{s}-\varepsilon} = T_s \frac{dx_s}{ds} \Big|_{\bar{s}+\varepsilon} = H_s \quad (25)$$

$$\frac{dy_s}{dx_s} \Big|_{\bar{s}+\varepsilon} - \frac{dy_s}{dx_s} \Big|_{\bar{s}-\varepsilon} = -\frac{Mg}{H_s} \quad (26)$$

با جایگزین کردن معادلات ۲۳ و ۲۴ در معادله‌ی ۲۶ داریم:

$$\frac{Mg}{T_s(\bar{s})} = -\beta(\bar{x}_s - \hat{c}_1) + \sinh^{-1} \left[ \sinh \beta(\bar{x}_s - c_1) + \frac{Mg}{H_s} \right] \quad (27)$$

خیز استاتیکی کابل  $y'_s$  در اثر وزن کابل و جرم متصل به کابل را می‌توان از معادلات ۲۳ و ۲۴ به دست آورد که نتیجه می‌دهد:

$$y_s = \frac{1}{\beta} [-\cosh \beta(x_s - c_1) + c_1], \quad 0 < x_s < \bar{x}_s \quad (28)$$

$$y_s = \frac{1}{\beta} \left\{ -\cosh \left[ \beta(x_s - \bar{x}_s) + \sinh^{-1} \left[ \sinh \beta(\bar{x}_s - c_1) + \frac{Mg}{H_s} \right] \right] + \hat{c}_1 \right\}, \quad \bar{x}_s < x_s < L \quad (29)$$

در  $y_s = h_s$  و  $x_s = 0$  در  $y_s = 0$  از شرایط و از شرایط  $\hat{c}_1, c_1, c_1$  ثابت انتگرال‌گیری‌اند و از شرایط  $y_s = h_s$  و  $x_s = 0$  در  $y_s = 0$  و  $x_s = L$  قابل تعیین‌اند. بنابراین کشش کابل  $T_s$  مطابق رابطه‌ی ۳۰ و ۳۱ بیان می‌شود:

$$T_s = H_s \frac{ds}{dx_s} = H_s \cosh \beta(x_s - c_1), \quad 0 < x_s < \bar{x}_s \quad (30)$$

$$T_s = H_s \frac{ds}{dx_s} = H_s \left\{ \cosh \left[ \beta(x_s - \bar{x}_s) + \sinh^{-1} \left[ \sinh \beta(\bar{x}_s - c_1) + \frac{Mg}{H_s} \right] \right] \right\}, \quad \bar{x}_s < x_s < L \quad (31)$$

طول کابل در فاصله‌ی افقی  $x'_s$  از انتهای ثابت با  $s(x_s)$  نشان داده شده و طبق رابطه‌ی ۳۲ قابل محاسبه است:

$$s(x_s) = \int_0^{\bar{x}_s} \left[ 1 + \left( \frac{dy_s}{dx_s} \right)^2 \right]^{1/2} dx_s + \int_{\bar{x}_s}^{x_s} \left[ 1 + \left( \frac{dy_s}{dx_s} \right)^2 \right]^{1/2} dx_s \quad (32)$$

که در آن طول کل کابل  $\ell_s = s(L)$  و  $\ell_s = s(L)$  است. حال به منظور استخراج معادلات حرکت و با در نظر گرفتن روابط بیان شده در حالت استاتیکی داریم:

$$\vec{r}(s, t) = \vec{r}_s(s) + \vec{u}(s, t) = \vec{r}_s(s) + u(s, t) \vec{e}_1 + w(s, t) \vec{e}_2 \quad (33)$$

$$T(s, t) = T_s(s) + \Delta T(s, t) \quad (34)$$

که در آن  $\vec{u}$  بیان‌گر جابه‌جایی،  $\Delta T$  تغییرات کشش کابل از حالت استاتیکی،  $\vec{e}_1$  بردار یک‌ی محاس و  $\vec{e}_2$  بردار یک‌ی عمود بر کابل در حالت استاتیکی است. با قراردادن روابط ۳۳ و ۳۴ در رابطه‌ی ۹، و با در نظر گرفتن رابطه‌ی ۱۵ داریم:

$$[\Delta T \vec{e}_1 + T_s \vec{u}' + \Delta T \vec{u}'] + \vec{f}_m \delta(s - \bar{s}) = m \frac{\partial^2 \vec{u}}{\partial t^2} + M \vec{a}_m \delta(s - \bar{s}) \quad (35)$$

از طرفی معادله‌ی حاکم بر ارتعاش جرم با توجه به شکل ۱ به صورت رابطه‌ی ۱۱ قابل استخراج است:

$$M \left\{ \left[ \left( \frac{d^2 \vec{r}(s, t)}{dt^2} + \ddot{\vec{h}}(t) \right) \cdot \hat{j} \right] \right\} + C(\dot{h}(t)) + k(h - h_s) = 0 \quad (11)$$

که در آن  $C$  ثابت میرایی،  $K$  سختی فنر و  $h_s$  خیز استاتیکی فنر است. فرض بر این است که جرم فقط در راستای  $y$  ارتعاش می‌کند. از معادلات ۵، ۹، ۱۰ و ۱۱ برای محاسبه‌ی  $\vec{r}, T, N, \bar{s}, h, \mu, M, m$  و نقاط تکیه‌گاهی کابل مشخص‌اند استفاده می‌شوند. شرایط مرزی مسئله عبارت است از:

$$\vec{r} = 0, \quad \text{at } s = 0 \quad (12)$$

$$\vec{r} = L\hat{i} + h_s\hat{j}, \quad \text{at } s = \ell(t) \quad (13)$$

$$T = T^* + u^*(t), \quad \text{at } s = \ell(t) \quad (14)$$

که در آن  $u^*(t)$  نیروی کنترلی مشخص شده به وسیله‌ی الگوریتم کنترلی،  $T^*$  کشش استاتیکی کابل در  $s = \ell(t)$  و  $\ell(t)$  طول کل کابل است که باید تعیین شود. برای تعیین شکل استاتیکی کابل، زمانی که جرم آویزان به صورت ثابت روی کابل قرار دارد، مسئله را به صورت رابطه‌ی ۱۵ در نظر می‌گیریم:

$$\frac{d}{ds} \left( T_s \frac{d\vec{r}_s}{ds} \right) = -[m + M\delta(s - \bar{s})]\vec{g} \quad (15)$$

معادله‌ی قیدی ۵ در حالت استاتیکی می‌شود:

$$\frac{d\vec{r}_s}{ds} \cdot \frac{d\vec{r}_s}{ds} = 1 \quad (16)$$

اندیس ۰ که در دو رابطه‌ی ۱۵ و ۱۶ به کار رفته متغیر را در حالت استاتیکی نشان می‌دهد. با شرایط مرزی در حالت استاتیکی به صورت زیر داریم:

$$\vec{r}_s = 0, \quad \text{at } s = 0 \quad (17)$$

$$\vec{r}_s = L\hat{i} + h_s\hat{j}, \quad \text{at } s = \ell_s \quad (18)$$

$$T_s(\ell_s) = T^* \quad (19)$$

در شکل اسکالر معادله‌ی ۱۵ چنین بیان می‌شود:

$$\frac{d}{ds} \left( T_s \frac{dx_s}{ds} \right) = 0 \quad (20)$$

$$\frac{d}{ds} \left( T_s \frac{dy_s}{ds} \right) = -mg - Mg\delta(s - \bar{s}) \quad (21)$$

با انتگرال‌گیری از عبارت ۲۱ و با در نظر گرفتن رابطه‌ی قیدی ۱۶ داریم:

$$\frac{dy_s}{dx_s} = -\sin h\beta(x_s - c_1), \quad 0 < x_s < \bar{x}_s \quad (22)$$

$$\frac{dy_s}{dx_s} = -\sin h \left[ \beta(x_s - \hat{c}_1) + \frac{Mg}{T_s(\bar{s})} \right], \quad \bar{x}_s < x_s < L \quad (23)$$

که در آن  $\beta = \frac{mg}{H_s}$  و  $H_s = T_s \frac{dx_s}{ds}$  است و  $H_s$  مؤلفه‌ی افقی کشش کابل را نشان می‌دهد. عبارت  $\frac{Mg}{T_s(\bar{s})}$  در معادله‌ی ۲۳ را می‌توان به طور تقریبی و به وسیله‌ی انتگرال‌گیری از معادله‌ی ۱۵، روی بازه  $\bar{s} - \varepsilon$  تا  $\bar{s} + \varepsilon$  و با این ملاحظه که  $\varepsilon$  انحراف کوچک از موقعیت جرم ساکن بر کابل را نشان می‌دهد به دست آورد.

$$T_s \vec{e}_1 \Big|_{\bar{s}-\varepsilon}^{\bar{s}+\varepsilon} = -M\vec{g} \quad (24)$$

رابطه‌ی قیدی ۵ با جایگذاری از رابطه‌ی ۳۳ و با توجه به عبارت ۱۶ می‌شود:

$$2\vec{r}'_o \cdot \vec{u}' + \vec{u}' \cdot \vec{u}' = 0 \quad (36)$$

شرایط مرزی برای  $\vec{u}$  به صورت  $\vec{u} = 0$  در  $s = 0$  است. برای شرایط مرزی ۱۳ و ۱۴،  $l = l_0 + \Delta l$  را با  $\Delta l \ll l_0$  در نظر می‌گیریم. حال با به‌کارگیری بسط تیلور برای معادله‌ی ۱۳ خواهیم داشت:

$$\vec{r}_o(l_0) + \tau_0 \Delta l + \vec{u}(l_0) + \vec{u}'(l_0) \Delta l = L\hat{i} + h e\hat{j} \quad (37)$$

این رابطه، با توجه به رابطه‌ی ۱۸، چنین کاهش می‌یابد:

$$\vec{r}_o \Delta l + \vec{u}(l_0) + \vec{u}'(l_0) \Delta l = 0 \quad (38)$$

و به‌طور مشابه، معادله‌ی ۱۴ با در نظر گرفتن رابطه‌ی ۳۴ به شکل رابطه‌ی ۳۹ کاهش می‌یابد:

$$[T'_o(l_0) + \Delta T'(l_0)] \Delta l + \Delta T(l_0) = u^*(t) \quad (39)$$

حال با حذف  $\Delta l$  بین دو رابطه‌ی ۳۸ و ۳۹ داریم:

$$(T'_o + \Delta T') \vec{u} + (u^* - \Delta T) (\vec{r}_o + \vec{u}') = 0, \quad \text{at } s = l_0 \quad (40)$$

با توجه به فرض صفر بودن کرنش مماسی داریم:

$$\vec{u}' \cdot \vec{r}_o = u' - w \chi_0 = 0 \quad (41)$$

بنابراین برای خلاصه‌کردن مسئله‌ی دینامیکی داریم:

با حل معادله‌ی ۴۲ در راستای  $\vec{r}_o$ ،  $\vec{\tau}_o$  به دست می‌آوریم:

$$(\Delta T)' - T \chi_0 (u \chi_0 + w') - \Delta T \chi_0 (u \chi_0 + w') + (\vec{f}_m \cdot \vec{r}_o) \delta(s - \bar{s}) = m \frac{\partial^2 u}{\partial t^2} + M \delta(s - \bar{s}) \left[ -\chi_0 (u \chi_0 + w') (\dot{\bar{s}})^2 + \ddot{\bar{s}} + \ddot{u} + \ddot{h}(t) \frac{dy_0}{ds} \right], \quad 0 < s < l_0 \quad (42)$$

$$(\Delta T) \chi_0 + [T \cdot (\chi_0 u + w')] + [\Delta T (\chi_0 u + w')] + \vec{f}_m \cdot \vec{n}_0 \delta(s - \bar{s}) = m \frac{\partial^2 w}{\partial t^2} + M \delta(s - \bar{s}) \left[ (\chi_0 + (\chi_0 u + w')) (\dot{\bar{s}})^2 + 2(\chi_0 u + w') \dot{\bar{s}} + (\chi_0 u + w') \ddot{\bar{s}} + \ddot{w} + \ddot{h}(t) \frac{dx_0}{ds} \right], \quad 0 < s < l_0 \quad (43)$$

به‌طور مشابه با در نظر گرفتن معادله‌ی حرکت جرم متحرک (رابطه‌ی ۴۳) در راستای  $\vec{r}_o$ ،  $\vec{n}_0$ ، داریم:

$$M \left[ -\chi_0 (u \chi_0 + w') (\dot{\bar{s}})^2 + \ddot{\bar{s}} + \ddot{u} + \ddot{h} \frac{dy_0}{ds} \right] = \vec{f}_m \cdot \vec{r}_o + Mg \frac{dy_0}{ds} + N (\chi_0 u + w' - \mu), \quad s = \bar{s}(t) \quad (44)$$

$$M \left[ (\chi_0 + (u \chi_0 + w')) (\dot{\bar{s}})^2 + 2(u \chi_0 + w') \dot{\bar{s}} + (u \chi_0 + w') \ddot{\bar{s}} + \ddot{w} + \ddot{h} \frac{dx_0}{ds} \right] = \vec{f}_m \cdot \vec{n}_0 + Mg \frac{dx_0}{ds} - N [1 + \mu (u \chi_0 + w')], \quad s = \bar{s}(t) \quad (45)$$

اگر  $N$  را از رابطه‌ی ۴۹ به دست آورده و در رابطه‌ی ۵۰ قرار دهیم، آنگاه:

$$M (\chi_0 u + w' - \mu) \left[ (\chi_0 + (u \chi_0 + w')) (\dot{\bar{s}})^2 + 2(u \chi_0 + w') \dot{\bar{s}} + (u \chi_0 + w') \ddot{\bar{s}} + \ddot{w} + \ddot{h} \frac{dx_0}{ds} \right] = (\chi_0 u + w' - \mu) \left[ \left( \vec{f}_m \cdot \vec{n}_0 + Mg \frac{dx_0}{ds} \right) - [1 + \mu (u \chi_0 + w')] \right] \cdot \left\{ M \left[ -\chi_0 (u \chi_0 + w') (\dot{\bar{s}})^2 + \ddot{\bar{s}} + \ddot{u} + \ddot{h} \frac{dy_0}{ds} \right] - \left( \vec{f}_m \cdot \vec{r}_o + Mg \frac{dy_0}{ds} \right) \right\}, \quad s = \bar{s}(t) \quad (46)$$

معادله‌ی ارتعاش جرم متحرک عبارت است از:

$$M \left\{ \left[ (\chi_0 + u' \chi_0 + u \chi_0' + w'') \frac{dx_0}{ds} - (u \chi_0 + w') \chi_0 \frac{dy_0}{ds} \right] (\dot{\bar{s}})^2 + 2 \left[ (\dot{u} \chi_0 + \dot{w}') \frac{dx_0}{ds} \right] \dot{\bar{s}} \right\} + M \left\{ \left[ \frac{dy_0}{ds} + (u \chi_0 + w') \frac{dx_0}{ds} \right] \ddot{\bar{s}} + \ddot{u} \frac{dy_0}{ds} + \ddot{w} \frac{dx_0}{ds} + \ddot{h} \right\} + C \dot{h}(t) + K (h - h_0) = 0, \quad s = \bar{s}(t) \quad (47)$$

بنابراین معادلات ۴۱، ۴۷، ۴۸، ۵۱، ۵۲ برای تعیین  $\Delta T(s, t)$ ،  $w(s, t)$ ،  $u(s, t)$ ،  $h(t)$ ،  $\bar{s}(t)$  و با در نظر گرفتن شرایط مرزی ۴۵ و ۴۶ مورد استفاده قرار می‌گیرند. نیروی  $\vec{f}_m$  روی جرم متحرک و در راستای مماس بر کابل در حال ارتعاش به صورت

$$[(\Delta T) \vec{r}_o + T \cdot \vec{u}' + \Delta T \vec{u}'] + \vec{f}_m \delta(s - \bar{s}) = m \frac{\partial^2 u}{\partial t^2} + M \delta(s - \bar{s}) \left[ (\chi_0 \vec{n}_0 + \vec{u}'') (\dot{\bar{s}})^2 + 2 \dot{u}' \dot{\bar{s}} + (\vec{r}_o + \vec{u}') \ddot{\bar{s}} + \ddot{u} + \ddot{h}(t) \right], \quad 0 < s < l_0 \quad (42)$$

$$M \left[ (\chi_0 \vec{n}_0 + \vec{u}'') (\dot{\bar{s}})^2 + 2 \dot{u}' \dot{\bar{s}} + (\vec{r}_o + \vec{u}') \ddot{\bar{s}} + \ddot{u} + \ddot{h} \right] = \vec{f}_m + M \vec{g} - N \vec{n} - \mu N \vec{r}, \quad s = \bar{s}(t) \quad (43)$$

$$M \left\{ \left[ \left( \frac{d^2 \vec{r}(\bar{s}, t)}{dt^2} \cdot \hat{j} + \ddot{h}(t) \right) \right] \right\} + C (\dot{h}(t)) + K (h - h_0) = 0 \quad (44)$$

معادلات ۴۱ تا ۴۴ شش معادله را برای به دست آوردن شش مجهول  $\Delta T$ ،  $N$ ،  $w$ ،  $u$ ،  $h(t)$ ،  $\bar{s}(t)$  فراهم می‌کنند. شرایط مرزی به‌شکل اسکالر عبارت‌اند از:

$$u(s, t) = w(s, t) = 0 \quad \text{at } s = 0 \quad (45)$$

$$T'_o u + \Delta T' u + u^* - \Delta T = 0, \quad w = 0, \quad \text{at } s = l_0 \quad (46)$$

رابطه‌ی ۵۳ عمل می‌کند:

$$\vec{f}_m = M f \vec{r} = M f [\vec{r}_0 + (\chi_0 u + w') \vec{n}_0] \quad (53)$$

که در آن  $f$  یک تابع معلوم بر حسب زمان است؛ برای مثال  $f$  می‌تواند در یک بازه مشخص، یک ثابت مثبت برای جرم با سرعت در حال افزایش و یک ثابت منفی برای سرعت در حال کاهش باشد و به توقف‌گاهی در انتهای کابل برسد.

## بیان حل

برای حل تقریبی معادلات دیفرانسیل جزئی کوپله حاکم بر مسئله، از روش گالرکین به همراه روش شتاب متوسط برای گسسته‌کردن زمان استفاده می‌شود. از این روش  $w, u$  را به صورت توابع پیوسته در نظر گرفته و مطابق رابطه‌های ۵۴ و ۵۵ تعریف می‌کنیم:

$$w(s, t) = \sum_{n=1}^{\infty} \alpha_n(t) \sin\left(\frac{n\pi}{\ell} s\right) \quad (54)$$

$$u(s, t) = \sum_{n=1}^{\infty} \beta_n(t) R_n(s) \quad (55)$$

که در آن  $w, u$  به‌گونه‌ی تعریف می‌شوند که شرایط مرزی ۴۵ ارضاء شود. با قرار دادن این روابط در رابطه‌ی قیدی ۴۱ داریم:

$$u' = \chi_0 w \Rightarrow \sum_{n=1}^{\infty} \beta_n(t) R_n'(s) = \sum_{n=1}^{\infty} \chi_0 \alpha_n(t) \sin\left(\frac{n\pi}{\ell} s\right) \quad (56)$$

از تساوی بالا دو نتیجه حاصل می‌شود:

$$\beta_n(t) = \alpha_n(t) \quad (57)$$

$$R_n(s) = \int_0^s \chi_0 \sin\left(\frac{n\pi}{\ell} s\right) ds \quad (58)$$

فرض می‌شود که حاصل ضرب  $w, u$  در  $\Delta T$  کوچک، و قابل صرف نظر کردن است. حال اگر در معادله‌ی ۴۷ از عبارت  $\Delta T \chi_0 (u \chi_0 + w')$  در معادله‌ی ۴۸ از عبارت  $[\Delta T (\chi_0 u + w')]'$  صرف نظر کنیم، با انتگرال‌گیری از رابطه‌ی معادله‌ی ارتعاش کابل در راستای مماسی روی بازه  $0 < s < \ell$  داریم:

$$\Delta T = \int_0^s \left[ T_0 \chi_0 (u \chi_0 + w') + m \frac{\partial^2 u}{\partial t^2} \right] ds + b_1(t), \quad 0 < s < \bar{s} \quad (59)$$

$$\Delta T = \int_0^s \left\{ T_0 \chi_0 (u \chi_0 + w') - M f \delta(s - \bar{s}) + m \frac{\partial^2 u}{\partial t^2} + M \delta(s - \bar{s}) \left[ -\chi_0 (u \chi_0 + w') (\dot{s})^2 + \ddot{s} + \ddot{u} + \ddot{h}(t) \cdot \frac{dy_0}{ds} \right] \right\} ds + b_2(t), \quad \bar{s} < s < \ell. \quad (60)$$

برای به دست آوردن دو ثابت انتگرال‌گیری  $b_1(t), b_2(t)$  از دو شرط زیر استفاده می‌شود:

۱. شرط مرزی ۴۶ با صرف نظر کردن از عبارت  $\Delta T' u$ ، یعنی:

$$T_0' u + u^* - \Delta T = 0, \quad \text{at } s = \ell. \quad (61)$$

۲. فرض پیوسته بودن تغییرات کشش کابل در  $s = \bar{s}(t)$ . در نتیجه:

$$\Delta T = T_0' u \Big|_{s=\ell} + u^* \Big|_{s=\ell} - \int_0^{\ell} \left[ T_0 \chi_0 (u \chi_0 + w') + m \frac{\partial^2 u}{\partial t^2} \right] ds, \quad 0 < s < \ell. \quad (62)$$

با جایگذاری  $\Delta T$  به دست آمده از رابطه‌ی ۶۲، در معادله‌ی ۴۸ که بیان‌گر ارتعاش کابل در راستای عمود بر کابل است، خواهیم داشت:

$$\begin{aligned} & [T_0 (\chi_0 u + w')] + \chi_0 \left\{ T_0' u \Big|_{s=\ell} + u^* \Big|_{s=\ell} - \int_0^{\ell} \left[ T_0 \chi_0 (u \chi_0 + w') + m \frac{\partial^2 u}{\partial t^2} \right] ds \right\} + M f (\chi_0 u + w') \delta(s - \bar{s}) = \\ & m \frac{\partial^2 w}{\partial t^2} + M \delta(s - \bar{s}) \cdot \left[ (\chi_0 + (\chi_0 u + w'))' \right] (\dot{s})^2 + \\ & 2 (\chi_0 u + w') \dot{s} + (\chi_0 u + w') \ddot{s} + \ddot{w} + \ddot{h}(t) \frac{dx_0}{ds} \Big|, \quad 0 < s < \ell. \end{aligned} \quad (63)$$

معادلات ۵۱، ۵۲ و ۶۳ توصیف‌گر حرکت کابل حامل جرم متحرک، شامل سه معادله‌ی دیفرانسیل کوپله شده، هستند.

برای حل تقریبی سیستم جرم و کابل از روش گالرکین استفاده می‌کنیم. با استفاده از روش گالرکین و برای کمیته‌سازی خطا، معادله‌ی ارتعاش کابل در راستای عمودی (رابطه‌ی ۶۳) را در تابع وزن  $\sin\left(\frac{n\pi}{\ell} s\right)$  ضرب کرده و نسبت به  $s$  از صفر تا  $\ell$  انتگرال‌گیری می‌کنیم. چنان که مشاهده می‌شود، در معادلات بالا علاوه بر مشتقات مرتبه‌ی اول و دوم آنها نیز ظاهر شده است؛ برای ایجاد رابطه بین این متغیرها و مشتقات آنها از روش شتاب متوسط استفاده می‌کنیم.<sup>[۱۳]</sup>

$$\begin{aligned} \dot{\alpha}_n^{t+\Delta t} &= \dot{\alpha}_n^t + a_1 \ddot{\alpha}_n^t + a_2 \ddot{\alpha}_n^{t+\Delta t} = c_1 \alpha (\dot{\alpha}_n^t, \ddot{\alpha}_n^t) + a_2 \ddot{\alpha}_n^{t+\Delta t} \\ \alpha_n^{t+\Delta t} &= \alpha_n^t + a_3 \dot{\alpha}_n^t + a_4 \dot{\alpha}_n^{t+\Delta t} + a_5 \ddot{\alpha}_n^{t+\Delta t} = c_2 \alpha (\alpha_n^t, \dot{\alpha}_n^t, \ddot{\alpha}_n^t) + \\ & a_5 \ddot{\alpha}_n^{t+\Delta t} \end{aligned} \quad (64)$$

$$\begin{aligned} \dot{s}^{t+\Delta t} &= \dot{s}^t + a_1 \ddot{s}^t + a_2 \ddot{s}^{t+\Delta t} = c_1 \bar{s} (\dot{s}^t, \ddot{s}^t) + a_2 \ddot{s}^{t+\Delta t} \\ \bar{s}^{t+\Delta t} &= \bar{s}^t + a_3 \dot{s}^t + a_4 \dot{s}^{t+\Delta t} + a_5 \ddot{s}^{t+\Delta t} = c_2 \bar{s} (\bar{s}^t, \dot{s}^t, \ddot{s}^t) + \\ & a_5 \ddot{s}^{t+\Delta t} \end{aligned} \quad (65)$$

$$\begin{aligned} \dot{h}^{t+\Delta t} &= \dot{h}^t + a_1 \ddot{h}^t + a_2 \ddot{h}^{t+\Delta t} = c_1 h (\dot{h}^t, \ddot{h}^t) + a_2 \ddot{h}^{t+\Delta t} \\ h^{t+\Delta t} &= h^t + a_3 \dot{h}^t + a_4 \dot{h}^{t+\Delta t} + a_5 \ddot{h}^{t+\Delta t} = c_2 h (h^t, \dot{h}^t, \ddot{h}^t) + \\ & a_5 \ddot{h}^{t+\Delta t} \end{aligned} \quad (66)$$

که در آن:

$$a_1 = \frac{\Delta t}{2}, \quad a_2 = \frac{\Delta t}{2}, \quad a_3 = \Delta t, \quad a_4 = \frac{\Delta t^2}{4}, \quad a_5 = \frac{\Delta t^2}{4} \quad (67)$$

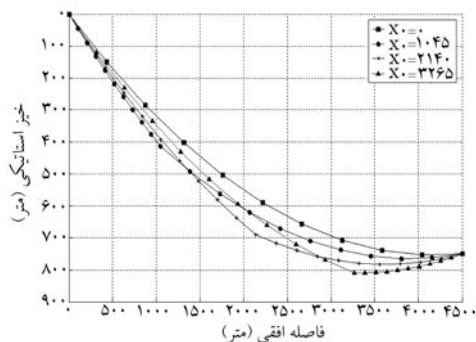
$c_1 \alpha, c_2 \bar{s}, c_1 h, c_2 h, c_1 \bar{s}, c_2 \alpha, c_1 \alpha$  عبارت‌هایی هستند که در زمان  $t$  محاسبه می‌شوند. با استفاده از روابط تعریف شده در بالا و جایگذاری آنها در معادلات حرکت سیستم، معادلات دیفرانسیل جزئی غیرخطی به معادلات جبری غیرخطی تبدیل و به صورت معادلات گسسته‌ی زمانی بیان شده، و برحسب سه مجهول  $h(t), s(t), \alpha(t)$  به دست می‌آیند.

## نتایج عددی

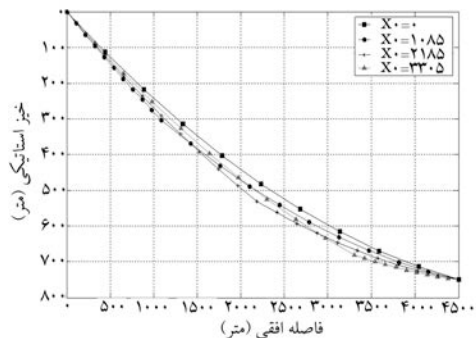
نتایج حاصل از حل دستگاه معادلات، تحت شرایط زیر آورده شده است.

$$Mg = 25000 \text{ N}; \quad mg = 2145 \text{ N/m}; \quad g = 9.806 \text{ m/s}^2;$$

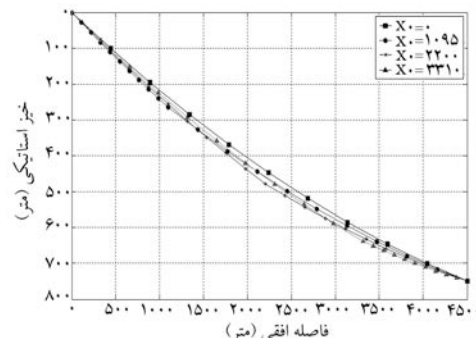
$$L = 450 \text{ m}; \quad h_e = 750 \text{ m}; \quad \mu = 0; \quad f = 0 \text{ m/s}^2; \quad u^* = 0.$$



شکل ۴. خیز استاتیکی کابل تحت اثر بار متمرکز در نقاط متفاوت به ازای  $H_e = 250 \text{ KN}$ .



شکل ۵. خیز استاتیکی کابل تحت اثر بار متمرکز در نقاط متفاوت به ازای  $H_e = 500 \text{ KN}$ .



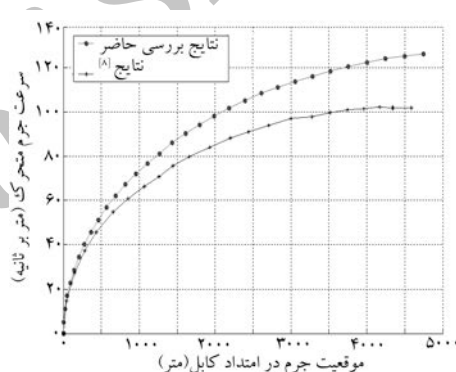
شکل ۶. خیز استاتیکی کابل تحت اثر بار متمرکز در نقاط متفاوت به ازای  $H_e = 750 \text{ KN}$ .

شکل ۵. همچنین در شکل ۵  $x_0 = 3265 \text{ m}$ ،  $x_0 = 0 \text{ m}$  و  $H_e = 500 \text{ KN}$  و  $Mg = 25 \text{ KN}$  خیز استاتیکی کابل تحت اثر بار متمرکز در  $x_0 = 3305 \text{ m}$  و  $x_0 = 2185 \text{ m}$ ،  $x_0 = 1085 \text{ m}$ ،  $x_0 = 0 \text{ m}$  در آمده است. و در شکل ۶ خیز استاتیکی کابل تحت اثر بار متمرکز  $Mg = 25 \text{ KN}$  و  $H_e = 750 \text{ KN}$  در  $x_0 = 2200 \text{ m}$ ،  $x_0 = 1095 \text{ m}$ ،  $x_0 = 0 \text{ m}$  و  $x_0 = 3310 \text{ m}$  نشان داده شده است. با توجه به این شکل‌ها نتیجه‌گیری می‌شود که خیز استاتیکی کابل در اثر وزن جرم متحرک افزایش یافته و با افزایش  $H_e$ ، کاهش می‌یابد.

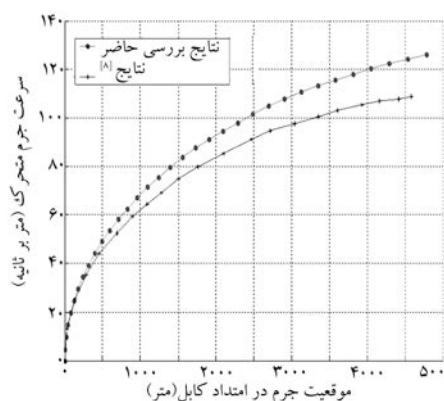
در شکل ۷ سرعت جرم متحرک ( $\dot{s}$ ) نسبت به موقعیت‌اش در امتداد کابل، بدون احتساب سیستم تعلیق برای جرم متحرک برای سه مقدار  $H_e = 250 \text{ KN}$ ،  $H_e = 500 \text{ KN}$  و  $H_e = 750 \text{ KN}$  نمایش داده شده است. چنان‌که مشاهده

در شکل ۲ و ۳ نمودار سرعت جرم متحرک ( $\dot{s}$ ) نسبت به موقعیت‌اش در امتداد کابل برای  $H_e = 500 \text{ KN}$  و  $H_e = 750 \text{ KN}$  نشان داده شده، و پاسخ به دست آمده از حل عددی با پاسخ‌های ارائه شده توسط دیگر محققین<sup>[۸]</sup> مقایسه شده است. برای مقایسه‌ی این نتایج، معادلات به شکل معادلات ارائه شده توسط آنان ساده شده و سپس مقایسه‌ی مورد نظر انجام شده است. مقادیر سرعت به دست آمده در این پژوهش بیشتر از مقادیر سرعت گزارش شده توسط این محققین است ولی شکل کلی نمودارها مشابه‌اند.

شکل‌های ۴، ۵، ۶ و ۷ خیز استاتیکی کابل را در اثر بار نقطه‌یی در  $x_0$ های مختلف و تحت  $H_e$ های متفاوت نشان می‌دهد. در شکل ۴ خیز استاتیکی کابل تحت اثر بار متمرکز  $x_0 = 2140 \text{ m}$ ،  $x_0 = 1045 \text{ m}$  در  $H_e = 250 \text{ KN}$  و  $Mg = 25 \text{ KN}$



شکل ۲. نمودار سرعت جرم متحرک نسبت به موقعیت‌اش در امتداد کابل برای  $H_e = 500 \text{ KN}$ ، که از حل عددی آن و مقایسه‌ی نتایج حاصله با پاسخ ارائه شده در دیگر مراجع<sup>[۸]</sup> حاصل شده است.

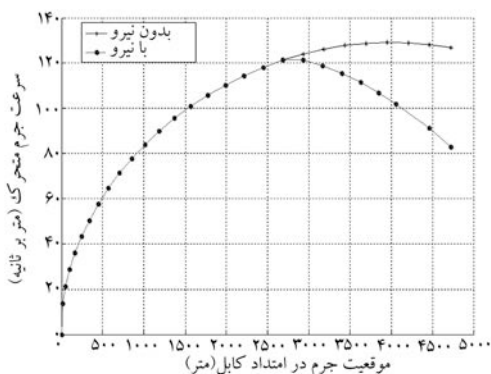


شکل ۳. نمودار سرعت جرم متحرک نسبت به موقعیت‌اش در امتداد کابل برای  $H_e = 750 \text{ KN}$ ، که از حل عددی آن و مقایسه‌ی نتایج حاصله با پاسخ ارائه شده در دیگر مراجع<sup>[۸]</sup> حاصل شده است.

در شکل‌های ۸ و ۹ نمودارهای مربوط به سرعت جرم متحرک ( $\dot{x}$ ) نسبت به موقعیت این جرم در راستای کابل در دو حالت بدون فنر و دمپر، و با فنر و دمپر برای  $H_0 = 250 \text{ KN}$ ،  $H_0 = 500 \text{ KN}$  با هم مقایسه شده‌اند. ضریب سختی فنر  $K = 10^6 \text{ N/m}$  و ضریب دمپینگ  $C = 10^6 \text{ N s/m}$  و جابه‌جایی اولیه  $h_0 = 0.1 \text{ m}$  است. مشاهده می‌شود که در حالت بدون فنر و دمپر مقادیر سرعت برای موقعیت‌های یکسان روی کابل بیشتر از حالت با فنر و دمپر است و در انتهای مسیر حرکت، جرم متحرک در حالتی که با سیستم تعلیق است زودتر شروع به کاهش سرعت می‌کند. بروز این رفتار به دلیل اتلاف مقداری از انرژی جنبشی جرم متحرک در طول مسیر حرکت به وسیله فنر و دمپر است که در نتیجه مقادیر سرعت کم‌تری برای جرم با سیستم تعلیق خواهیم داشت. در حالت کلی ضریب سختی فنر ( $K$ ) و ضریب دمپینگ ( $C$ ) به عنوان پارامترهای کنترلی، طوری می‌توانند بهینه شوند که نه تنها از نوسانات جرم متحرک با دامنه‌ی بزرگ جلوگیری شود بلکه علاوه بر کاهش دامنه‌ی نوسان، جرم متحرک به عنوان جاذب ارتعاشی عمل کرده و دامنه‌ی نوسان کابل را کاهش دهد.

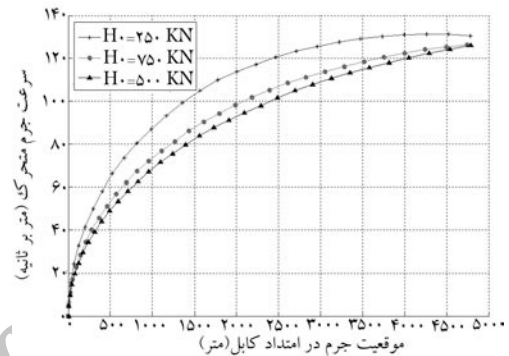
در شکل ۱۰ نمودار سرعت جرم متحرک ( $\dot{x}$ ) نسبت به موقعیت‌اش در راستای کابل در دو حالت بدون نیروی ترمزی  $f = 0 \text{ m/s}^2$  و با نیروی ترمزی  $f = -2/5 \text{ m/s}^2$  در  $H_0 = 250 \text{ KN}$  با یکدیگر مقایسه شده‌اند. برای داشتن نیروی ترمزی کافی است که نیروی پیش‌ران ( $f$ ) با علامت منفی در نظر گرفته شود که در این صورت  $f$  به عنوان نیروی بازدارنده بر روی سیستم اثر می‌کند. نیروی ترمزی وقتی که جرم در موقعیت  $s = 0.76\ell$  روی کابل قرار می‌گیرد بر جرم اثر کرده و تا پایان مسیر، با همان مقدار ثابت روی جرم متحرک اثر دارد. مشاهده می‌شود که به محض اثر نیروی ترمزی سرعت جرم متحرک شروع به کاهش کرده و در انتهای مسیر سرعت آن برابر مقدار معین غیر صفر است؛ در واقع نیروی ترمزی می‌تواند طوری تنظیم شود که اولاً به صورت ناگهانی به جرم اثر نکند، ثانیاً در انتهای مسیر سرعت جرم متحرک صفر شود. این بدان معناست که نیروی  $f$  به عنوان پارامتر کنترلی طوری تعیین شود که بدون ورود ناگهانی به جرم متحرک، در کم‌ترین زمان و با کم‌ترین اتلاف انرژی، سرعت جرم متحرک در انتهای مسیر را صفر سازد.

نمودارهای مربوط به شکل ۱۱ و ۱۲ تحت شرایط زیر برای مقایسه‌ی پاسخ عددی ناشی از حل معادلات غیر خطی ارتعاش کابل حامل جرم متحرک با پاسخ

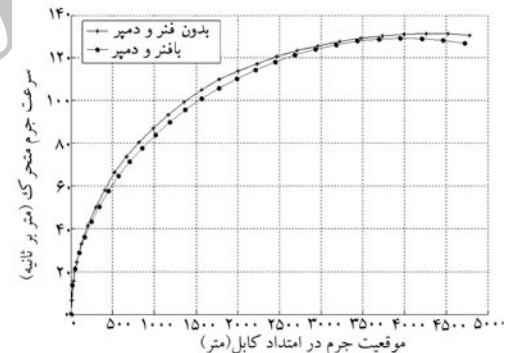


شکل ۱۰. مقایسه‌ی نمودار سرعت جرم متحرک نسبت به موقعیت‌اش در راستای کابل، در دو حالت بدون نیروی ترمزی  $f = 0 \text{ m/s}^2$  و با نیروی ترمزی  $f = -2/5 \text{ m/s}^2$  در  $H_0 = 250 \text{ KN}$

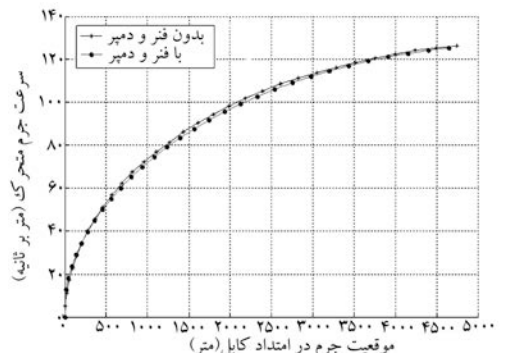
می‌شود در آغاز حرکت شیب مربوط به  $H_0$  های کوچک‌تر، بیشتر از  $H_0$  های بزرگ‌تر است و این رفتار با توجه به شکل استاتیکی کابل دور از انتظار نیست؛ زیرا شیب کابل در حالت استاتیکی در آغاز حرکت برای  $H_0$  های کوچک‌تر، بیشتر از  $H_0$  های بزرگ‌تر است و در نتیجه جرم متحرک با سرعت بیشتر به سمت پایین حرکت خواهد کرد. بنابراین می‌توان گفت که در ابتدای حرکت، با افزایش  $H_0$  نرخ افزایش سرعت کاهش می‌یابد ولی در ادامه‌ی مسیر نرخ کاهش سرعت برای  $H_0$  های کوچک به مراتب بیشتر از  $H_0$  های بزرگ‌تر است. لذا مشاهده می‌شود که با افزایش فاصله‌ی جرم متحرک از مبدا، سرعت جرم متحرک با  $H_0$  های کوچک‌تر به سمت کاهش سرعت پیش می‌رود.



شکل ۷. نمودار سرعت جرم متحرک نسبت به موقعیت‌اش در امتداد کابل برای سه مقدار  $H_0 = 250 \text{ KN}$ ،  $H_0 = 500 \text{ KN}$ ،  $H_0 = 750 \text{ KN}$



شکل ۸. مقایسه‌ی نمودار مربوط به سرعت جرم متحرک نسبت به موقعیت‌اش در امتداد کابل، در دو حالت بدون فنر و دمپر، و با فنر و دمپر در  $H_0 = 250 \text{ KN}$



شکل ۹. مقایسه‌ی نمودار مربوط به سرعت جرم متحرک نسبت به موقعیت‌اش در امتداد کابل در دو حالت بدون فنر و دمپر، و با فنر و دمپر در  $H_0 = 500 \text{ KN}$

خطی، علاوه بر خطی بودن معادله‌ی ارتعاش کابل، جرم متحرک به صورت بار متمرکز با مقدار ثابت در نظر گرفته شده است؛ در حالت غیرخطی نیز علاوه بر غیرخطی بودن معادله‌ی حاکم بر ارتعاش کابل، اینرسی جرم متحرک هم در نظر گرفته شده است.

به‌وضوح مشخص است که با در نظر گرفتن اثر اینرسی، در نقاط دور از بیشینه‌ی دامنه‌ی نوسان، پاسخ‌های خطی و غیرخطی به خوبی با هم مطابقت دارند ولی در نزدیکی نقطه‌ی اثر بار متحرک دامنه‌ی نوسان غیرخطی بزرگ‌تر از دامنه‌ی نوسان خطی است. نتیجه این که برای به دست آوردن پاسخ واقعی و دقیق‌تر از رفتار سیستم، باید اثر اینرسی جرم متحرک در نظر گرفته شود.

## نتیجه‌گیری

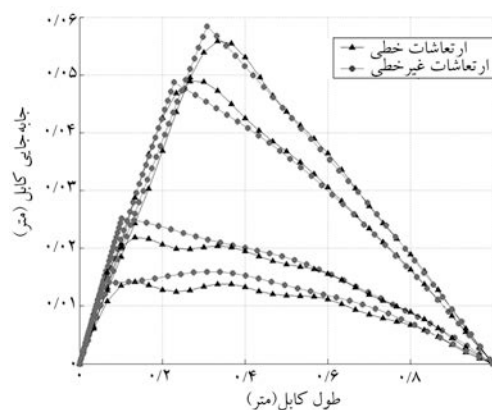
در این مطالعه ارتعاشات غیرخطی کابل حامل جرم متحرک که به کمک فنر و دمپر به کابل متصل شده، مورد بررسی قرار گرفت. یک انتهای کابل ثابت، و انتهای دیگر آن (با اختلاف ارتفاع) غیرثابت است. کرنش مماسی کابل صفر فرض شده، اما طول کابل دائماً در حال تغییر است و همین مسئله اجازه‌ی ارتعاش را به کابل می‌دهد. این تغییرات به صورتی است که اختلاف کشش در انتهای غیرثابت کابل صفر شود. معادلات حرکت با فرض متأثر بودن حرکت کابل و حرکت جرم نسبت به هم به دست آمد. برای حل از روش گالرکین در حوزه‌ی مکان و از روش شتاب متوسط در حوزه‌ی زمان استفاده شد.

نتایج حاصل از حل معادلات ارتعاش غیرخطی کابل با نتایج معادلات ارتعاش خطی کابل مقایسه شد و نهایتاً، با توجه به نمودارهای عنوان‌شده، نتایج حاصله عبارت‌اند از:

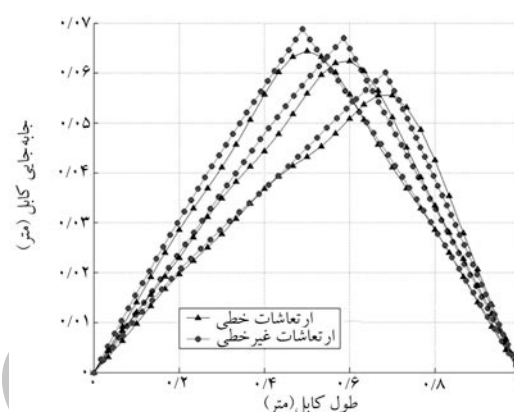
۱. در مسائلی که حل تحلیلی برای آنها وجود ندارد استفاده از روش نیمه‌تحلیلی گالرکین و روش شتاب متوسط برای گسسته‌سازی زمان پاسخ قابل قبول و مطلوبی ارائه می‌دهد.
۲. تأثیر  $H_0$  (تصویر افقی کشش کابل) در کاهش دامنه‌ی نوسان و همچنین تنظیم زمان لازم برای عبور جرم متحرک از روی کابل قابل توجه است.
۳. اگر در بررسی سیستم از قسمت اینرسی جرم متحرک صرف‌نظر شود، خطای قابل توجهی در تحلیل ایجاد می‌شود.
۴. استفاده از فنر و دمپر به عنوان رابط بین کابل و جرم متحرک تأثیر به‌سزایی در دامنه‌ی نوسان کابل خواهد داشت.

## منابع

1. Fryba L. "Vibration of solids and structures under moving loads", Noordholt International Publishing, The Netherlands (1972).
2. Smith C.E. "Motions of a stretched string carrying a moving mass particle," *J. Applied Mech.*, (31), pp. 29-37 (1964).
3. Ting, E.C.; Genin, J., and Ginsberg, J.H. "A general algorithm for moving mass problems," *J. Sound and Vi-*



شکل ۱۱. مقایسه‌ی شکل ارتعاشی کابل در حالت خطی و غیر خطی برای زمان‌های متفاوت.



شکل ۱۲. مقایسه‌ی شکل ارتعاشی کابل در حالت خطی و غیر خطی برای زمان‌های متفاوت.

مربوط به ارتعاش خطی کابل حامل بار  $q$  متحرک به دست آمده‌اند.

$$L = 1 \text{ m}; x_0 = 0 \text{ m}; v_0 = 0 \text{ m/s}; a = 1 \text{ m/s}^2; m = 10 \text{ kg/m};$$

$$q = 500 \text{ N}; T_0 = 2000 \text{ N}; Mg = 500 \text{ N}.$$

مقایسه‌ی شکل ارتعاشی کابل تحت اثر بار متحرک در حالت خطی و غیرخطی برای زمان‌های متفاوت در شکل‌های ۱۱ و ۱۲ نشان داده شده است. در حالت

*brations*, (33), pp. 49-58 (1974).

4. Forrestal, M.J.; Bickel, D.C., and Sagartz, M.J. "Motion of a stretched cable with small curvature carrying an accelerating mass," *AIAA J.*, (13), pp. 1533-1535 (1975).
5. Rodeman, R.; Longcope, D.B., and Shampine, L.F. "Response of a string to an accelerating mass," *J. Applied Mech.*, (43), pp. 675-680 (1976).
6. Triantafyllou, M.S. "The dynamics of a taut inclined cable," *Q.J. Mech. and Applied Maths.*, (37), pp. 421-440 (1984).



7. Wu, J.S., and Chen, C. "The dynamic analysis of a suspended cable due to a moving load," *Int. J. Numer. Method in Engrg.*, (28), pp. 2361-2381 (1989).
8. Wang, Y.M. "The transient dynamics of a cable-mass system due to the motion of an attached accelerating mass," *Int. J. Solids and Structures*, (37), pp. 1361-1383 (2000).
9. Yanlin, G.; Hong, W., and Gexue, R. "Dynamic response of the cable to moving mass," *Proceedings of the Third International Conference on Advances in Steel Structures 9-11 December 2002*, pp. 873-879, Hong Kong, China (2002).
10. Shahani, A.R., Jafari, B. "Analysis of vibration of a taut cable supporting moving masses," M.SC. Thesis, Department of Mechanical Engineering, K.N.Toosi University of Technology, (April 2002).
11. Shahani, A.R., Ghadiri, M. "Nonlinear Vibration of a cable supporting a moving mass." M.SC. Thesis, Department of Mechanical Engineering, K.N.Toosi, University of Technology, (November 2005).
12. Shahani, A.R., Ghadiri, M. "Nonlinear vibration of a cable supporting a moving mass." 15th Annual International conference on Mechanical Engineerin - ISME 2007, Amirkabir University of Technology, Tehran, Iran.
13. Siddiqui, S.A.; Golnaraghi, M.F., and Heppler, G.R. "Large free vibration of a beam carrying a moving mass," *Int. J. Non-Linear Mechanics*, (38), pp. 1481-1493 (2003).

Archive of SID